

九州大学 正員 植東一郎

" 学生員 長江 元義

" " 北島 清仁

考え方

直線部に設置した越流連續水制についての実験及び解析を行ったが、水制の流速変動率は水制高さと、水制間隔との比高さ β が $10\sim20$ 程度のとき著しい。水制長 B としては、 $(B/b)^{2/3}$ を満たす範囲内で短いことが望ましいという結果を得られた。従って河川工学の基準とされていゝ3者は直線部水制では有効なパラメーターとはなり得ないようと思われる。(しかし今からとてとてと水制は、河川弯曲部に設けられることは多く、その場合の流れの集中流向の性状)直線部の要素のほかに β が弯曲性状に関連して重要な要素として入ってくる事が予想される。弯曲部における水制の機能を調べるために、連續越流水制を置いて河床変動とその流況について実験を行い若干の考察を加えてみた。

1. 実験装置と実験方法

実験に用いた水路は、巾 $b = 100\text{cm}$ の長方形断面コンクリート製で、上流4m、下流4.5mの直線水路の間に偏角 90° 中心曲率半径180cmの曲線部が挿入されている。路床勾配 $i = 300$ 、流量 $15\text{l}/\text{s}$ で、下流直線部の水深を等流水深 $h_0 = 3.7\text{cm}$ に保つた。

水制の配置は、粒径 0.6mm の砂表面から高さ $h_1 = 2\text{cm}$ 長さ $B = 15\text{cm}$ の水制を、水制間隔 $\beta = 20$ で全幅にわたる、 $\theta = 10^\circ$ おきに設置した。従って $\beta/b = 2.7$ である。

さき水制を設置しない固定床実験によると、主流流速の横断分布を $U = f(\rho)$ で表わす時、入口附近で自由漏 $m = -1$ 、 $\theta = 75^\circ$ 附近で $m = 0$ とすれば下流流れは正となる。弯曲部下流 1.5m 附近で m は最大値0.65を取る。

流速に対する重要な外壁流速 V_{w0}/V_0 は、図一スベ附記したように $\theta = 0$ より減少して $\theta = 10^\circ$ に於ける最小値0.87に達した後増大し、弯曲末端後 $1.5\text{m} \sim 2.0\text{m}$ ($\beta/b = 1.5 \sim 2.0$)に於ける最大値1.32を取る。その後流速は漸近する。従ってこの実験が才村本^①の分類による渦度の発生域、発達域のみで現われた。才村須賀^②の流速開始角 θ_0 は $\theta_0 = 38.5^\circ$ である。

実験はまず水制を設置しない場合EXP(A)、水制を設置した場合EXP(B)及び実際の水制では、適当な保護が実施されてから、水制先端を中心とする 10cm 四角の範囲を移動しながら、約 1cm 粒径の石を撒き、上を金網で覆、乙先端の局所的

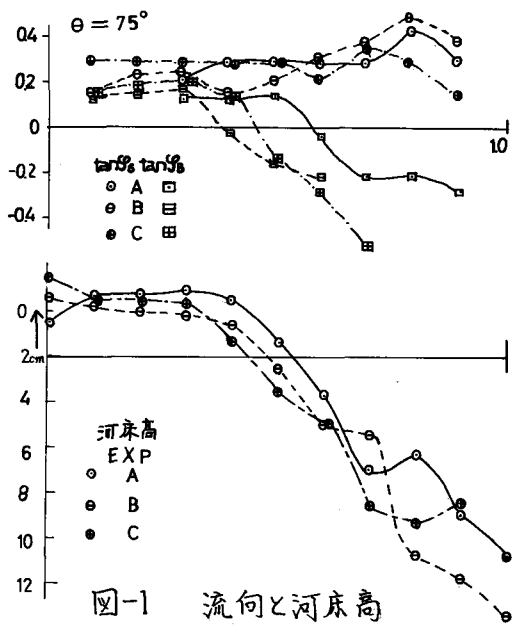


図-1 流向と河床高

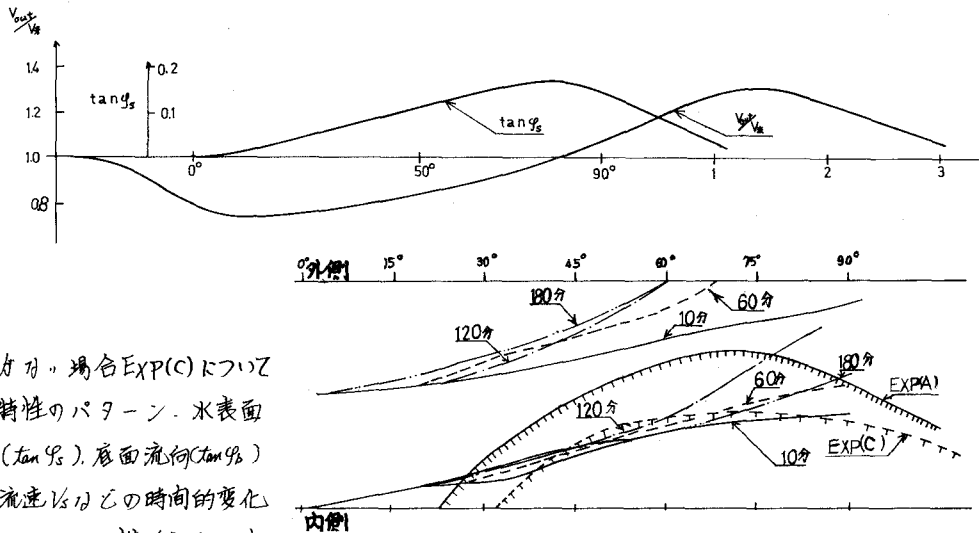


図 - 2

針金の先についた糸の方向により、表面流速は多数の粒片を流し、16 mmで撮映してフィルム解析装置により読みと、大。測定に約1分要して…。

2. 洗瀬 堆積パターン

弯曲水路の河床変動では、白方向の流砂量を b_{100} とする時次式

$$\frac{dV}{dt} = \frac{1}{A} \left\{ \frac{1}{B} \tan \varphi_b (B_{100}) + \frac{1}{C} \frac{d}{dt} (B_{100} \tan \varphi_b) \right\}$$

で規定されることから明らかのように、 $\tan \varphi_b$ 及び B_{100} (U_{100}) の値及びそれらの時間的変化が問題となる。また表面の流跡線や水制前面における $\tan \varphi_s$ は、流れの集中をあらわし外壁部の深瀬れや、水制部深瀬れ、水制前の河床変動に対して重要な役割をもつことが予想される。

水制を設置しない場合の河床変動については、村本氏の詳しく述べあるので省略するが、1例として、図-1に示したように、外壁の洗瀬内壁の堆積が進むと、外向きの表面流向は、2倍～3倍程度大きくなる。また底面流向は、固定床の場合の $\tan \varphi_s = -11 \frac{\text{度}}{\text{m}} (\approx 0.14)$ と大きく変化し、堆積部では外向きの流れに変化し、深瀬れ部では大きめの内向き流れとなる。洗瀬部の間に顕著なせんれを形成している。つぎに図-2に弯曲入口の内壁及び中央部からの表面流跡線 $y = e^{\int \tan \varphi d\theta}$ を示したが流れの集中部が、時間的に弯曲末端部から上流側へ逆上し、 $\theta = 60^\circ$ 附近で安定する様子がみられる。

図-3には、実験Bにおける河床がほぼ平衡に近い状態で測定された流速 V_{ws} (すく等流流速)、表面流向 $\tan \varphi_s$ とともに、(実験A)外壁に沿う洗瀬深、(実験B)水制前面の洗瀬深、(実験C)水制前の河床変動を示したが、いずれの場合も中央流跡線が外壁にあたる $\theta = 60^\circ$ より若干下流の $\theta = 75^\circ$ 附近で洗瀬が最も著しい。

なお一般的な流向に及ぼす水制の影響は、顕著ではないが、水制を設置すると主流部における流速増大のため、実験Aの外壁に集中した洗瀬の巾が増加し堆積部の巾が図-2に記すように減少する。

堆積部は比較的早く安定し、その高さは水制の有無に殆んど關係がないようである。

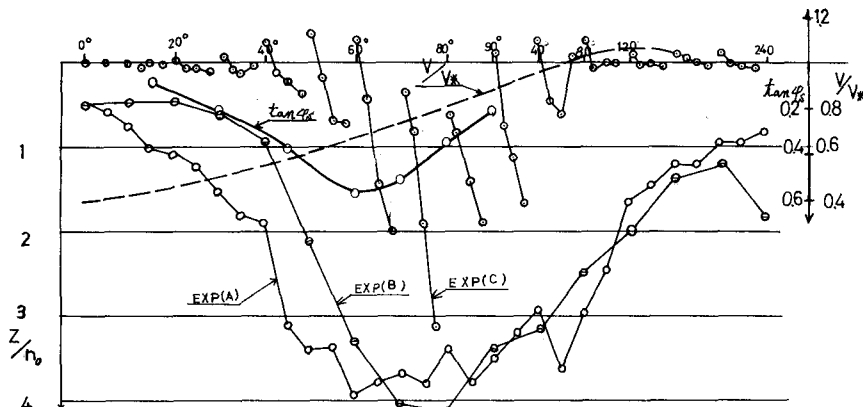


図 - 3

3. 水制上による流速減殺作用

直線水路の水制の場合、水制域における流速係数は、他の他に角によらず大きく変化する。弯曲部の水制では、流速は上流方向に変化し水制前面からの水制域への流れ込みがあるため、更に複雑となる。実験結果の一例にすぎないが、実験Bのデータにおける水制位置における V/V_* を求めてみると、 $\theta = 30^\circ$ から -40° にかけてその値は $0.36 \sim 0.56$ の間を変化する。一方直線水路の水制については、 $\theta = 20^\circ$ 、 40° における流速減少比は 0.25 の程度である(3)。両者の比は主として水制域への流れ込みを表わす $\tan \theta_s$ に関係するとと思われる所以、水制域流速 $V_{\text{水制}}$ と $V_{\text{直線}}$ との比を、固定床で求めた V/V_* に対してプロットすると図-4のようになる。

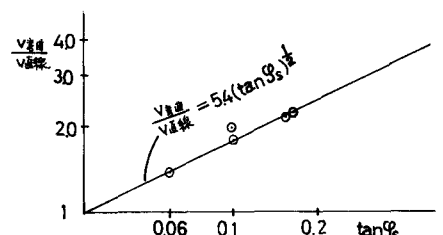
なおこの問題については固定床実験により検討して、図-4

水制域流速

4. 水制面及び水制による局所的洗掘

実験Bでは、流れの集中部における水制前面が、激しく洗掘され、直線水路と同様の洗掘孔が形成され水平河床は安息角をなす。斜面の範囲を増してゆくと同時に水制前面の河床は一般的に低下し、前面の $\tan \theta_s$ が、固定床時の $2 \sim 3$ 倍程度に増し前面からの水制域への流入量が著しく増加する。この流入水は水制に衝突して水制の間に水平軸を持つ強い渦を形成し、負の大きな $\tan \theta_s$ の方向にそって、底部から流出する。従って水制の前面に洗掘孔が作られると、水制内部の砂粒はこのらせん流によって、一方向に運びだされ、最大洗掘深は内側に移動し水制面の河床は図-3の実験Cに示した形で急激に低下する。水制の前面を保護した場合にも水制前面に同様に深堀れを生じ、大きな $\tan \theta_s$ による流入水のために水制面の砂が流出することと前と同様である。このように弯曲集中部では、流水による土砂の流出と、流速減速効果が直線水路ほど期待されないために、 $\tan \theta_s$ が重要な役割をもつことが理解される。

さて流入水の影響を表わすパラメーターとして、最も簡単なものは $\tan \theta_s$ であるが、実験(B)では、



水制前面のB位置における、表面流向 $\tan\varphi$ (変動が著しく高い精度は期待されない) ($\varphi=0$ には 3 水深 h 及び h_0 における流速 V を、間隔 $h_0=10$ cmで測定し、 $\bar{q}_0 = \frac{1}{2} V \tan\varphi$ により、 \bar{q} 、流入量 q を求めた。測定には、プロペラ流速計及び試作した小型流向計を用い、水制1個あたりについて、 q/h_0 (q : 水制のない場合の単位巾流量) を示したものか図-5に示してある。

オザ実験Cにおける

水制間の平均低下量 z/h_0
ピーチが1水制分ずれて
いる。 z/h_0 は q_0/h_0 と
ついて $\tan\varphi$ との間に
にかなり良相関が
成立して、る。

次に実験Bにおける

水制前面の洗掘深についてす、前報の直線水路の実験で求めた洗掘深を、含めた水深 h の表示式⁽⁴⁾

$$h = K g^{2/3} \quad \text{or} \quad h^{2/3}/g^{2/3} = K'$$

を用ひ、上式の g として(固定床における水制末端部流速) \times ($t=0$ における水制部水深) をとると g は流れ方向に増加し、弯曲末端下流 80 cmで最大になる。直線水路の定常域における K の値が $K_0 = 0.29 \sim 0.33$ であるから $\theta = 60^\circ$ から末端より水路中程度下流迄の水制の K の値は、直線部にくらべてかなり大きい。 K と q_0/h_0 或は $\tan\varphi$ との間に統一的な関係を期待したうえでも、 $\theta = 90^\circ$ より -80 cm間の水制が強めすぎで、このままではよくわからない。

上の式の g のはかで、河床のパターンによる流量集中を表わす係数を導入する必要があるようと思われる。

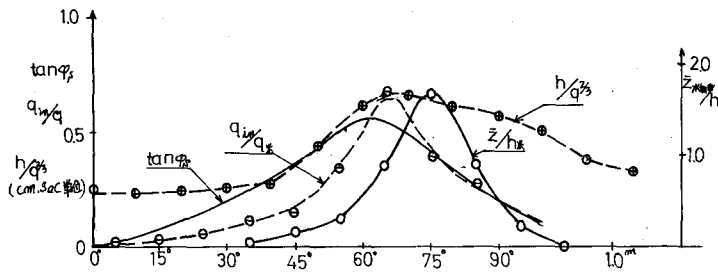


図-5

参考文献

- 1) 村本嘉雄: 曲曲水路の河床変動に関する研究 (2)
- 2) 織賀堯三: 直線水路弯曲部河床の安定形状 (2)
- 3) 横東一郎: 連続水制の機能に関する研究(第一報)
- 4) 横東一郎: 水制の機能について(第3報)移動床における河床変動